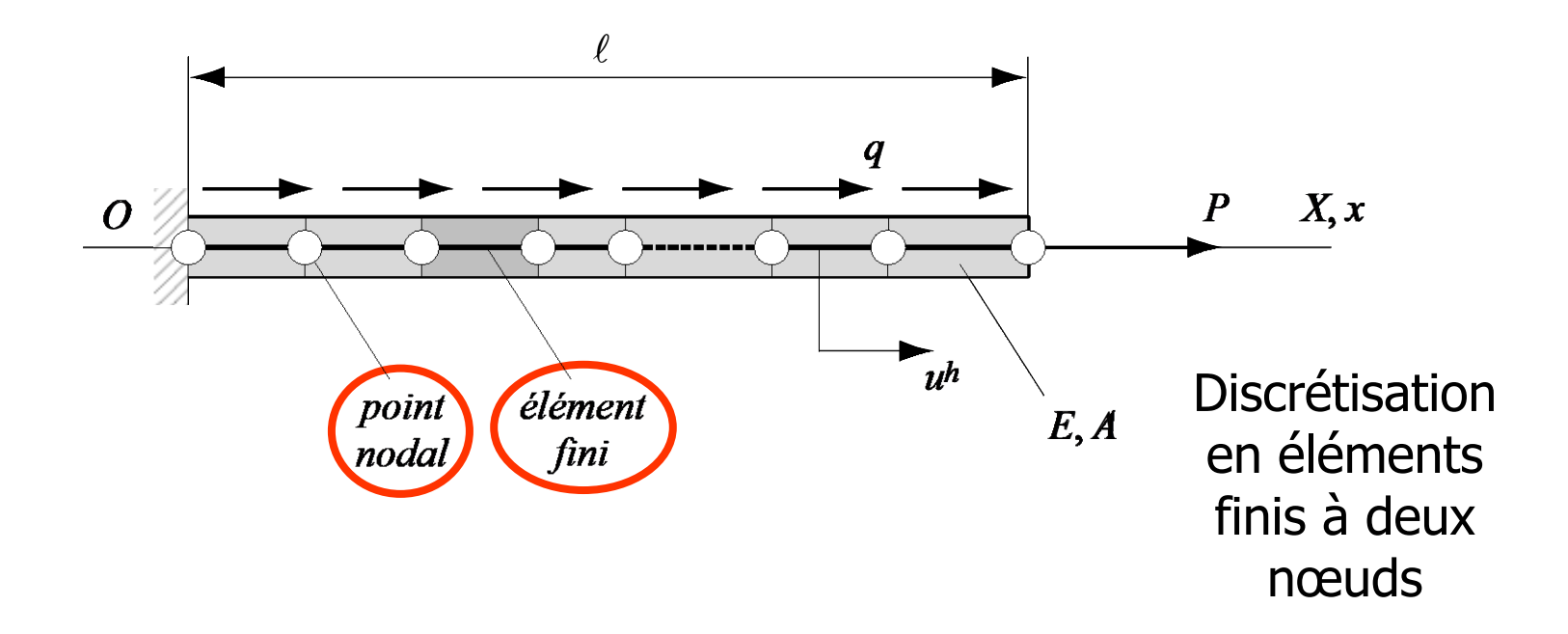
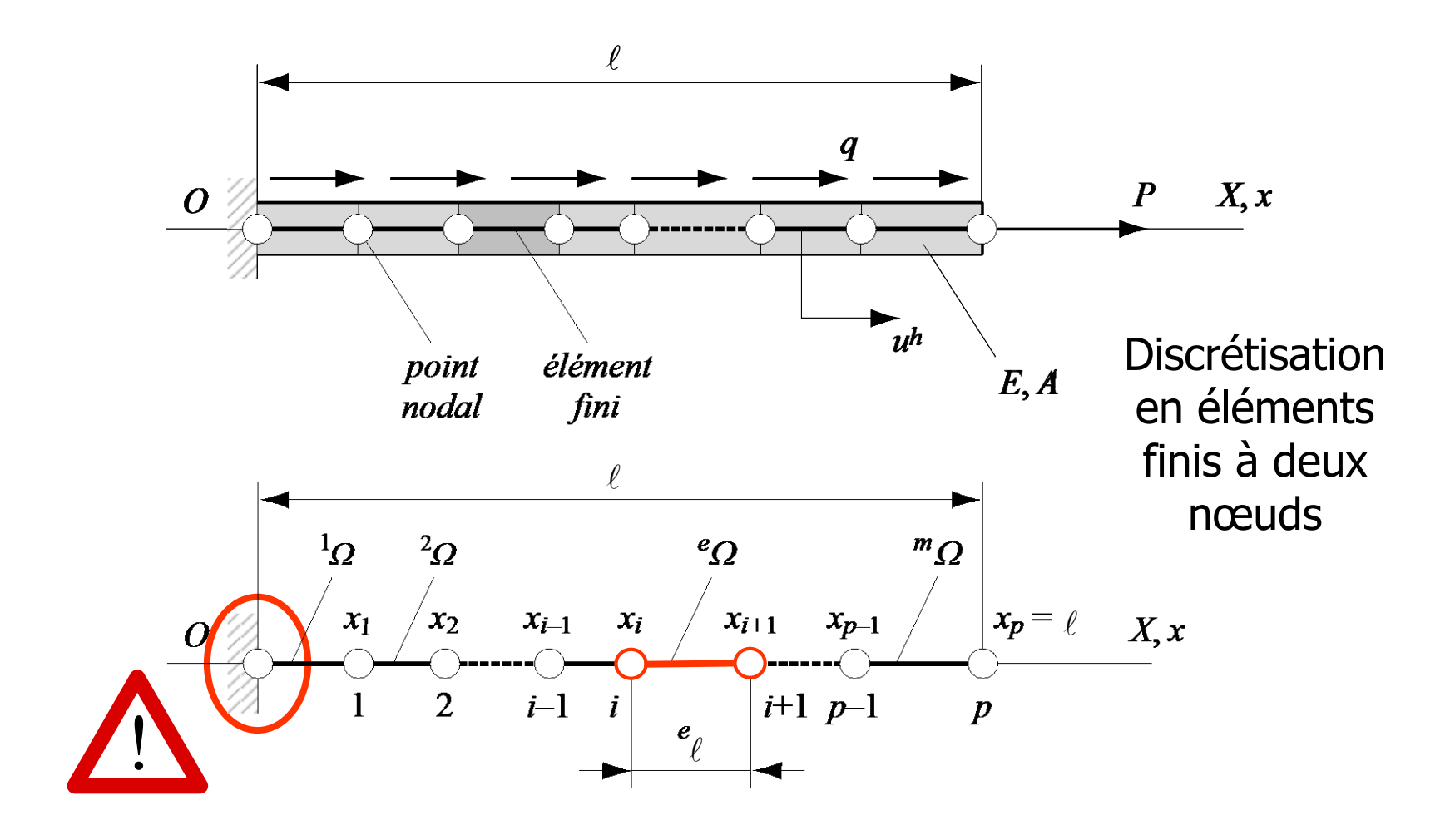
#### Méthode des éléments finis Formulation intégrale du problème modèle de la barre

Prof. F. Gallaire





• Approximation par éléments finis : association d'une fonction  $h_i(x)$  à chacun des p points nodaux

• Cas particulier

$$u^h(x) = \sum_{i=1}^p h_i(x) \ q_i = \mathbf{H}(x) \mathbf{q}$$

 $\mathbf{H} = [h_1, h_2, ..., h_i, ..., h_p]$ 

Cas particulier de la méthode de Galerkin

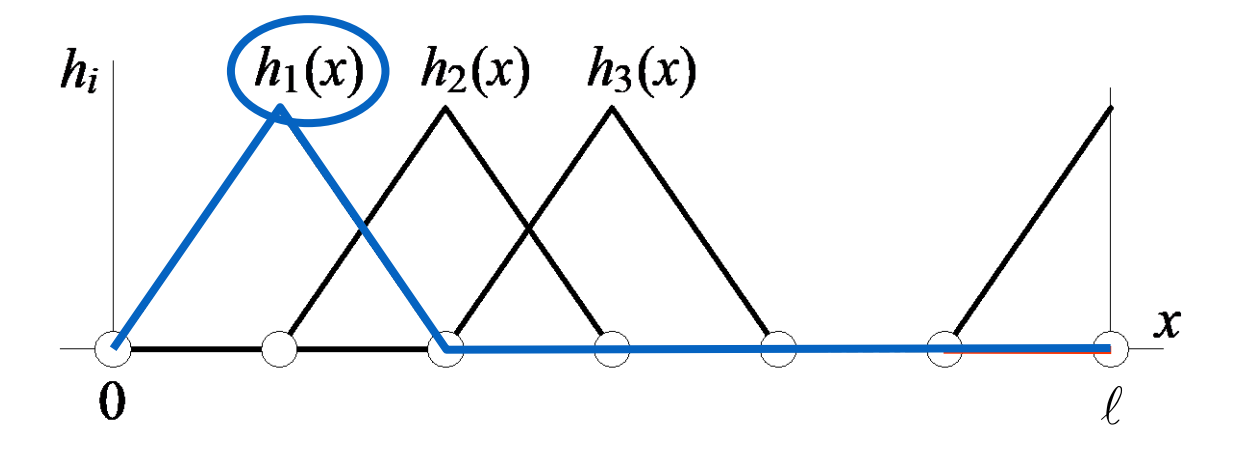
matrice  $(1 \times p)$  des fonctions de forme nodales

$$\mathbf{q} = \{q_1, q_2, ..., q_i, ..., q_p\}^{\mathrm{T}}$$
 vecteur  $(p \times 1)$  des déplacements nodaux

$$\delta u^h(x) = \sum_{i=1}^p h_i(x) \, \delta q_i = \mathbf{H}(x) \, \delta \mathbf{q}$$

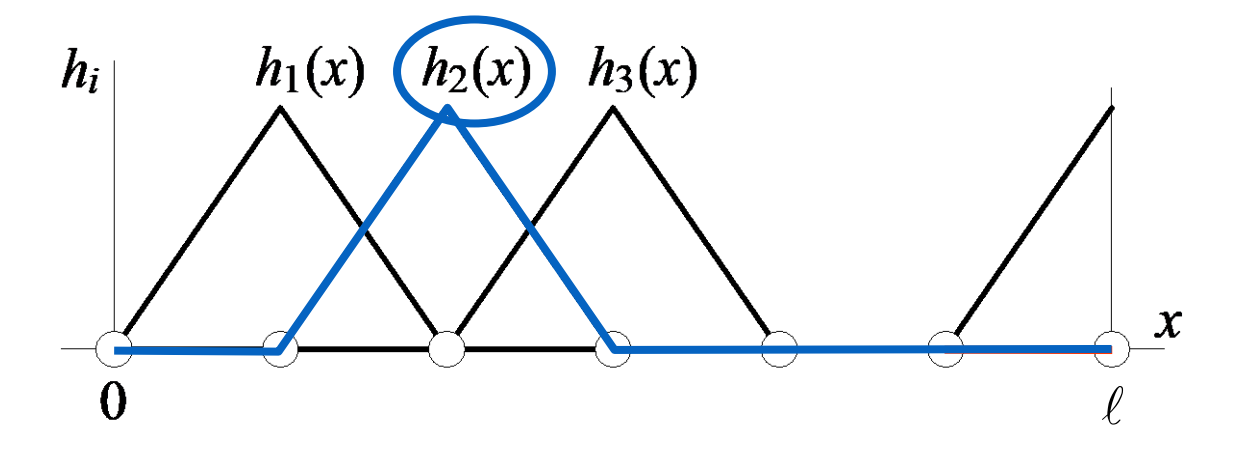


Caractérisation des fonctions de forme



Fonctions  $h_i(x)$  (i = 1, 2, ..., p) à support compact

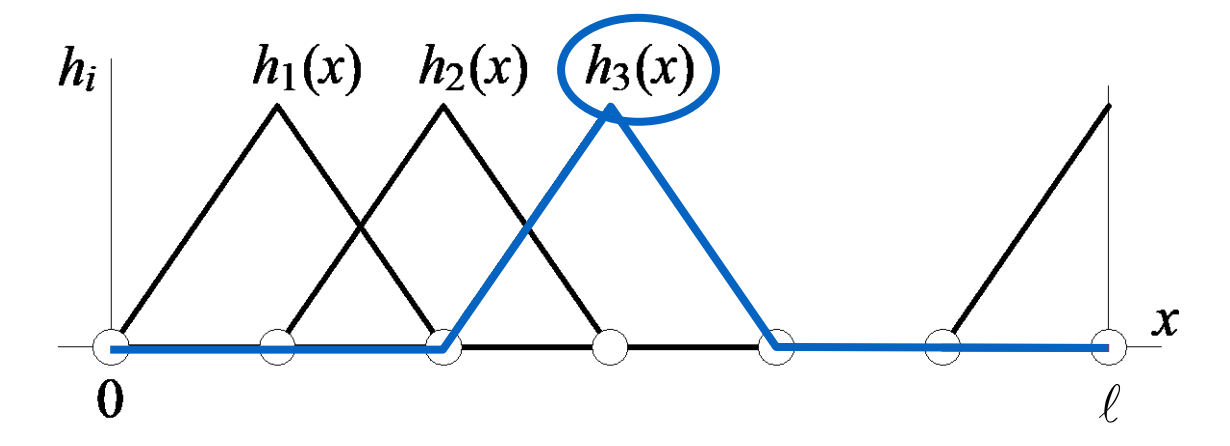
Caractérisation des fonctions de forme



Fonctions  $h_i(x)$  (i = 1, 2, ..., p) à support compact

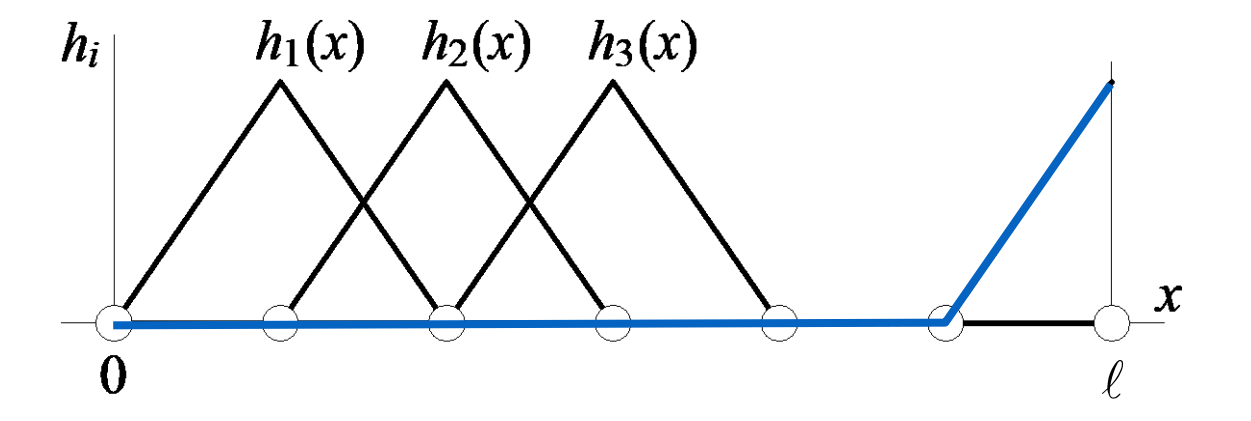
04/10/2018 -38-

Caractérisation des fonctions de forme



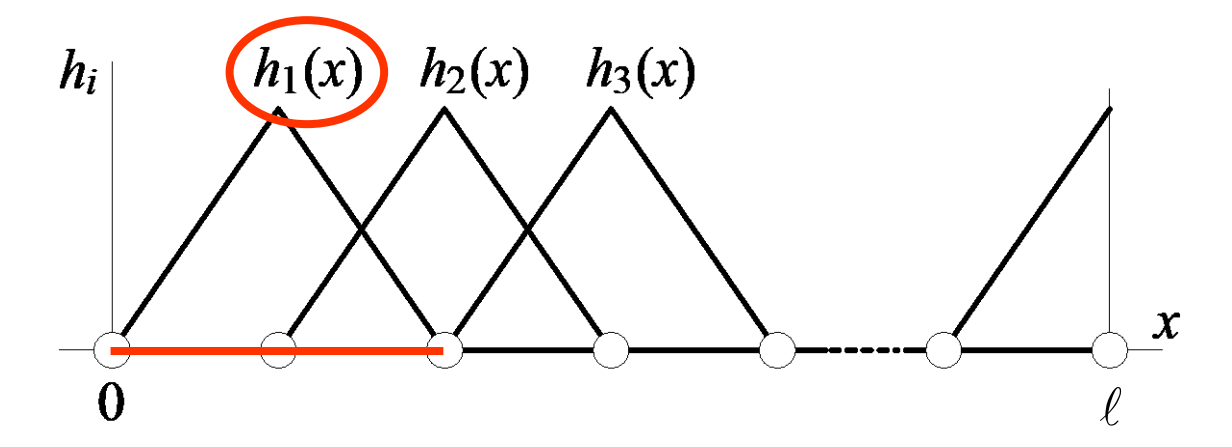
Fonctions  $h_i(x)$  (i = 1, 2, ..., p) à support compact

Caractérisation des fonctions de forme



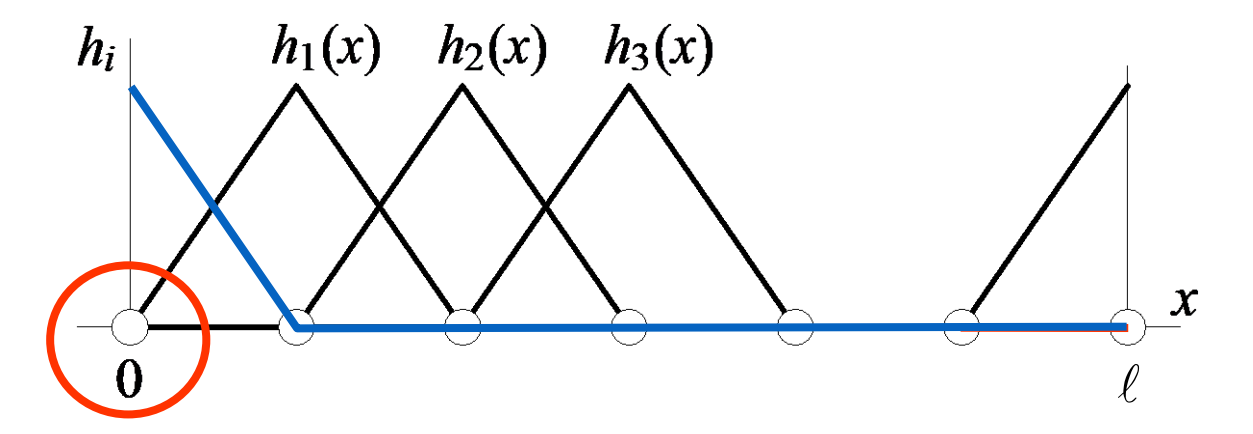
Fonctions  $h_i(x)$  (i = 1, 2, ..., p) à support compact

Caractérisation des fonctions de forme



Fonctions  $h_i(x)$  (i = 1, 2, ..., p) à support compact

Caractérisation des fonctions de forme



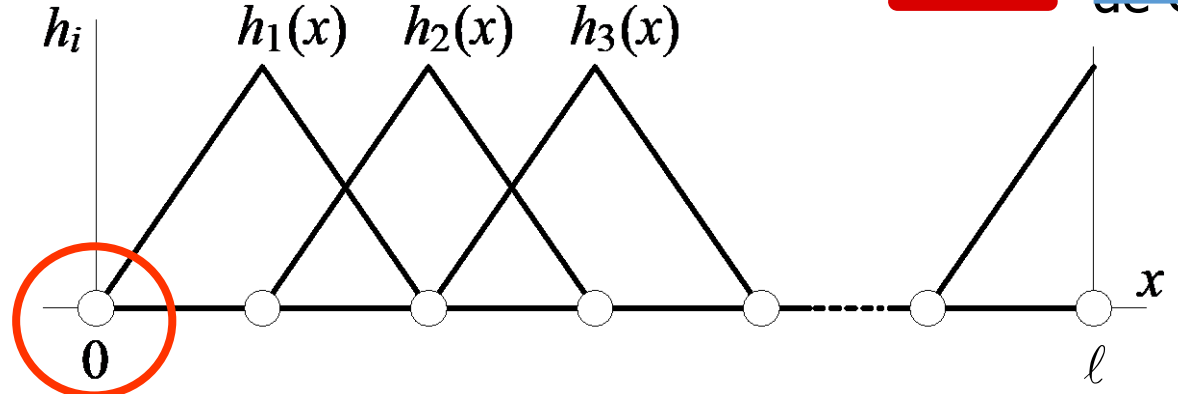
Fonctions  $h_i(x)$  (i = 1, 2, ..., p) à support compact



Respect nécessaire de la condition aux limites essentielle par seule la fonction  $"h_0(x)"$ 

Caractérisation des fonctions de forme





Fonctions  $h_i(x)$  (i = 1, 2, ..., p) à support compact



Respect nécessaire de la condition aux limites essentielle par seule la fonction " $h_0(x)$ "

• Choix des fonctions de forme nodale  $h_i(x)$  à support compact

$$u^{h} \in U^{h} ) \int_{0}^{\ell} EA(du^{h}/dx) (d\delta u^{h}/dx) dx$$

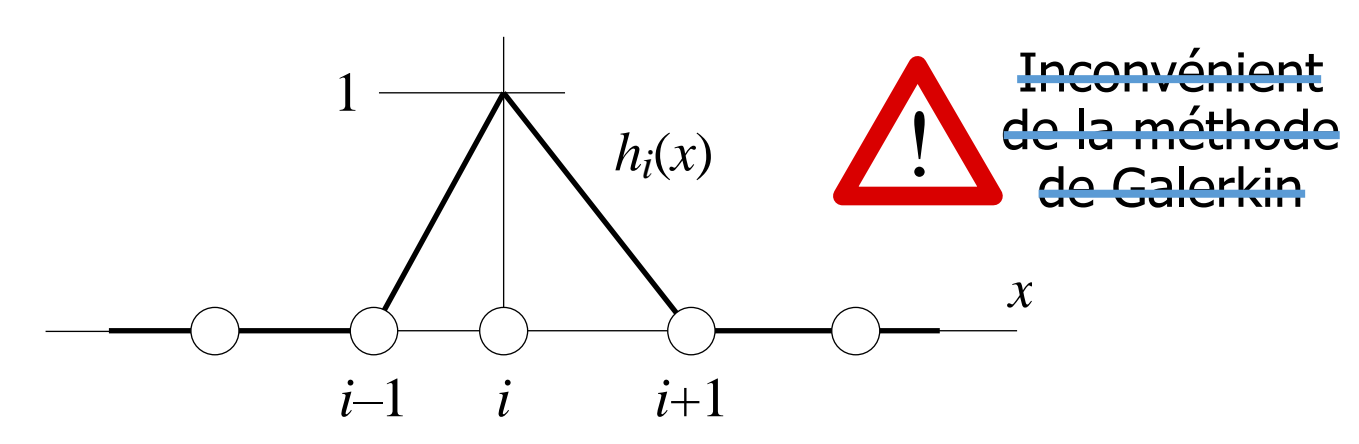
$$u^{h}(x) = \sum_{i=1}^{p} h_{i}(x) q_{i} \qquad \delta u^{h}(x) = \sum_{i=1}^{p} h_{i}(x) \delta q_{i}$$

- Fonctions au moins du premier degré (polynômes)
- Fonctions suffisamment régulières
- Fonctions continues

- Critères généraux de convergence
  - Critère de complétude ou de complétion : fonctions  $h_i(x)$  affines sur les éléments, c'est-à-dire constituant une base complète permettant la représentation des états de déformation constante et les déplacements rigides
  - Critère de différentiabilité : fonctions  $h_i(x)$  suffisamment régulières à l'intérieur des éléments pour assurer que le déplacement  $u^h$  appartienne à la classe des fonctions  $U^h$
  - Critère de <u>continuité</u> : fonctions  $h_i(x)$  continues aux interfaces des éléments pour assurer la continuité du déplacement  $u^h$

Caractérisation physique des inconnues (critère restreint de continuité)
 de déplacements nodaux

$$h_i(x_j) = \delta_{ij}$$
  $(i, j = 1, 2, ..., p)$   $x_j$  position du nœud  $j$ 



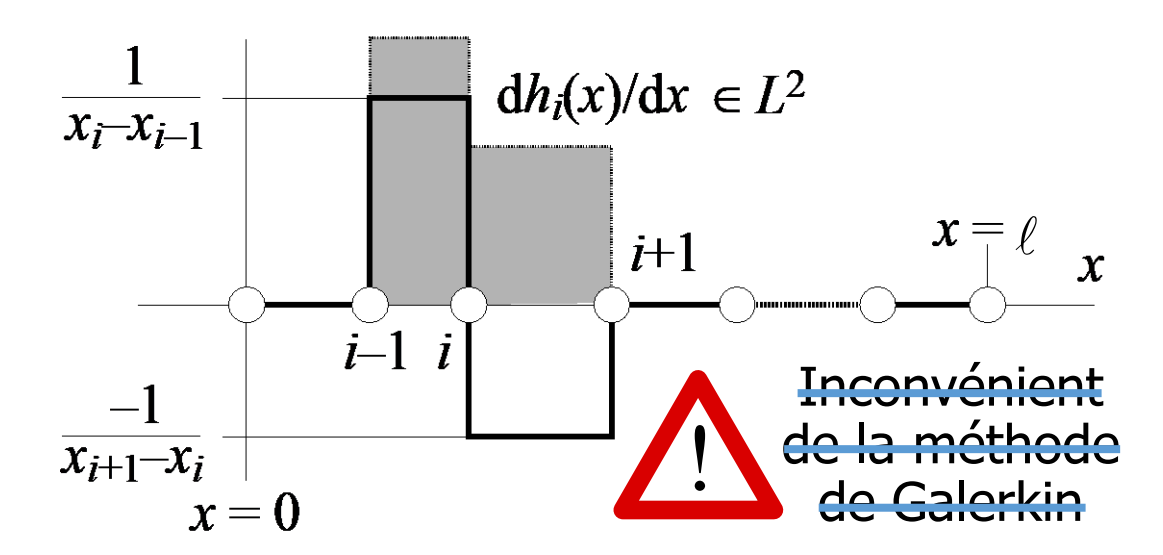
$$\Rightarrow (u^h(x_j)) = \sum_{i=1}^p h_i(x_j) \ q_i = \sum_{i=1}^p \delta_{ij} \ q_i = (q_j) \ (j = 1, 2, ..., p)$$

04/10/2018 -46-

 Choix final des fonctions de forme nodales

$$h_i(x) \in H^1(]0, \ell[)$$

 $h_i(x)$  fonction linéaire prenant la valeur 1 au nœud i et 0 aux autres points nodaux



• Insertion de l'approximation dans la forme faible approchée

$$\int_{0}^{\ell} EA \left[ d(\mathbf{H} \ \delta \mathbf{q})^{\mathrm{T}} / dx \right] \left[ d(\mathbf{H} \ \mathbf{q}) / dx \right] dx$$

$$\mathbf{\alpha} \rightarrow \mathbf{q} \qquad = \left[ \mathbf{H}(\ell) \ \delta \mathbf{q} \right]^{\mathrm{T}} P + \int_{0}^{\ell} \left[ \mathbf{H} \ \delta \mathbf{q} \right]^{\mathrm{T}} q \, dx \quad \forall \ \delta \mathbf{q}$$

$$\Rightarrow \delta \mathbf{q}^{\mathrm{T}} \left[ \int_{0}^{\ell} EA \left( d\mathbf{H}^{\mathrm{T}} / dx \right) \left( d\mathbf{H} / dx \right) dx \cdot \mathbf{q} \right]$$
matrice de rigidité  $\mathbf{K}$ 

$$- \left[ \mathbf{H}^{\mathrm{T}}(\ell) P + \int_{0}^{\ell} \mathbf{H}^{\mathrm{T}} q \, dx \right] = 0 \quad \forall \ \delta \mathbf{q}$$
vecteur des forces
$$\Rightarrow \delta \mathbf{q}^{\mathrm{T}} \left( \mathbf{K} \mathbf{q} - \mathbf{r} \right) = 0 \quad \forall \ \delta \mathbf{q}$$
appliquées  $\mathbf{r}$ 

04/10/2018 -48-

 Système d'équations linéaires (analogue à la forme faible discrète issue du processus de Galerkin)

$$\mathbf{K}\mathbf{q}=\mathbf{r}$$

$$\mathbf{K} = \int_0^{\ell} EA \left( d\mathbf{H}^T / dx \right) \left( d\mathbf{H} / dx \right) dx \quad \text{matrice } (p \times p) \text{ de rigidit\'e}$$

$$= \int_0^{\ell} EA \; \mathbf{B}^T \mathbf{B} \; dx$$

$$\mathbf{r} = \mathbf{H}^T(\ell) P + \int_0^{\ell} \mathbf{H}^T \; q \; dx \quad \text{vecteur } (p \times 1) \text{ des forces appliqu\'ees}$$

Forme indicielle du système d'équations

$$\sum_{j=1}^{p} k_{ij} q_{j} = r_{i} \quad (i = 1, 2, ..., p)$$

$$k_{ij} = \int_{0}^{\ell} EA(dh_{i}/dx)(dh_{j}/dx) dx$$

$$r_{i} = h_{i}(\ell)P + \int_{0}^{\ell} h_{i} q dx$$



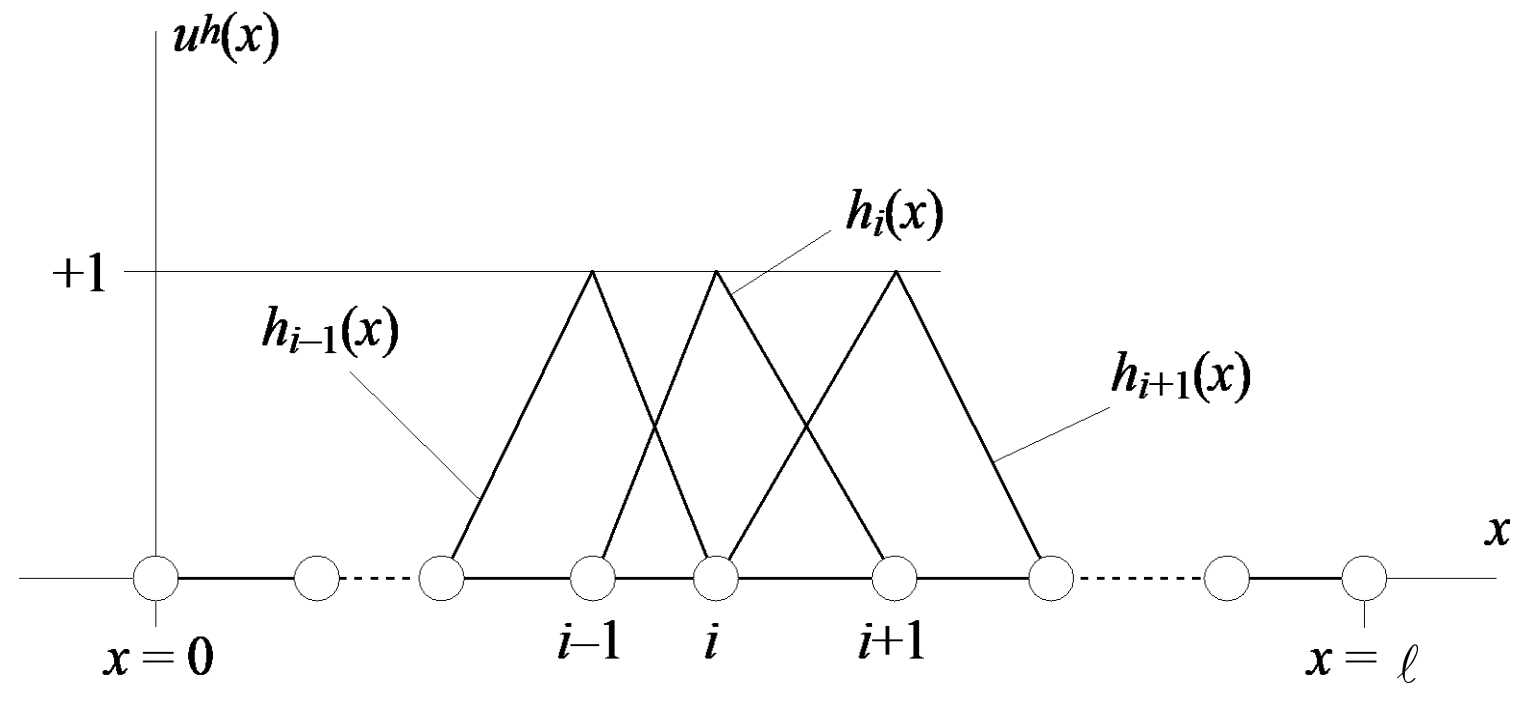
Fonctions de forme nodales  $h_i(x)$  à support compact  $\Rightarrow$  matrice  $\mathbf{K}$  éparse



Une seule fonction de forme concernée par la condition aux limites naturelle

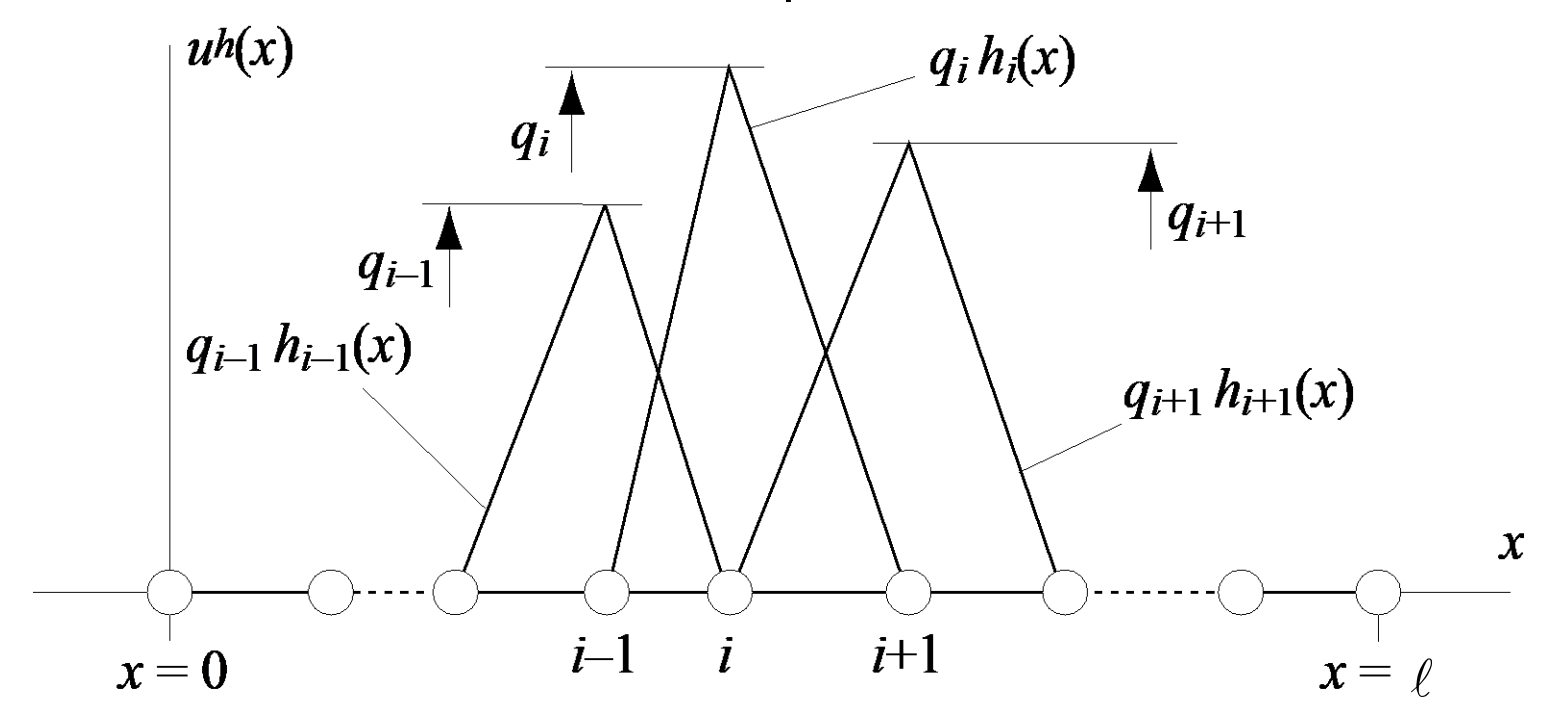
04/10/2018 -50-

Allure de la solution obtenue par la méthode des éléments finis

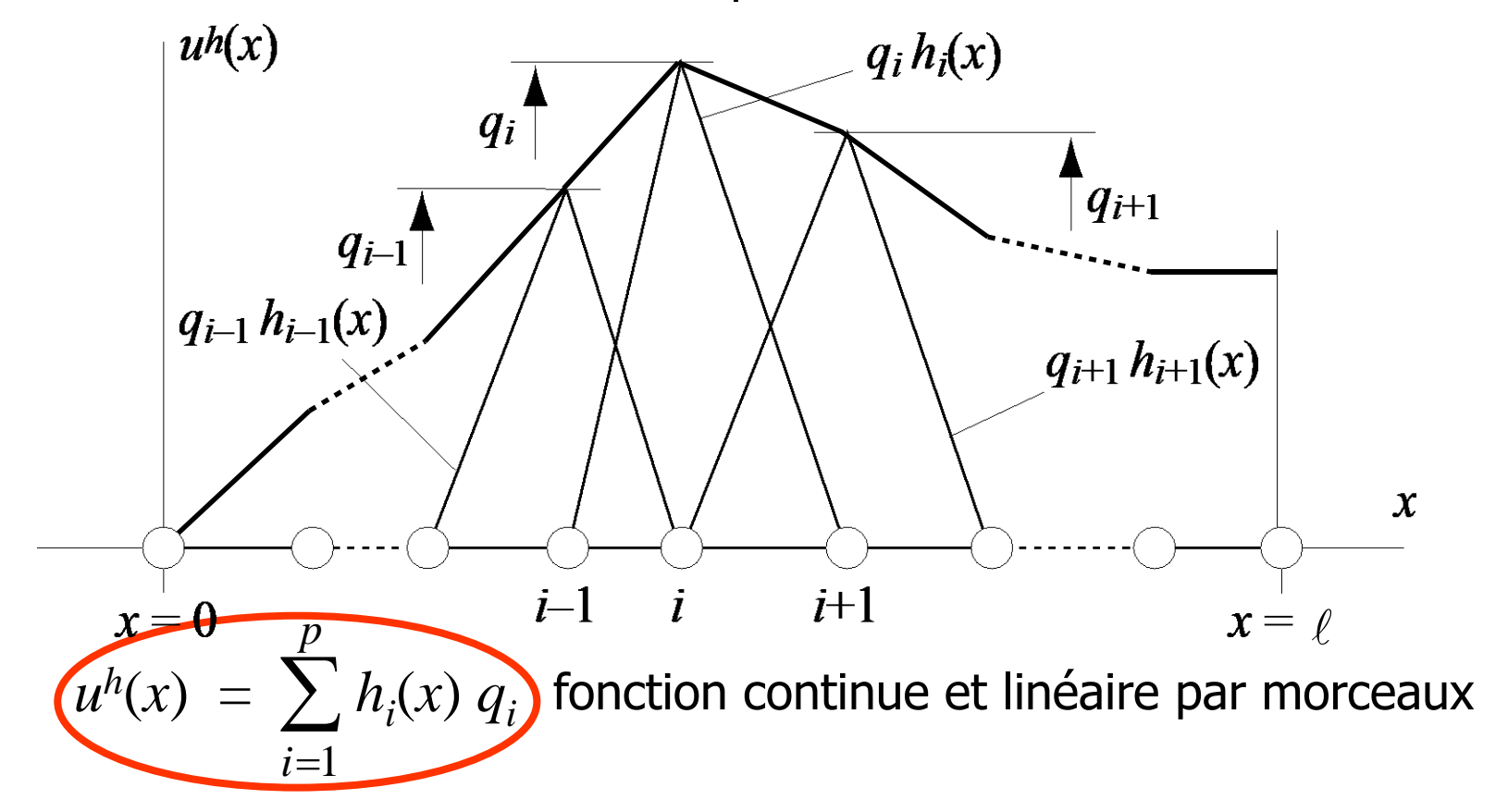


-51-

• Allure de la solution obtenue par la méthode des éléments finis



Allure de la solution obtenue par la méthode des éléments finis



#### Approche globale des éléments finis : avantages et inconvénients

- Avantages de la méthode par rapport au procédé de Galerkin
  - Systématisation poussée du processus : approximation sous la forme de polynômes de faible degré continus par morceaux
  - Fonctions de forme à support compact : matrice de rigidité peu dense, condition aux limites essentielle à satisfaire par une fonction
  - Interprétation physique des inconnues : déplacements discrets
- Inconvénients de l'approche globale de la méthode des éléments finis
  - Prise en compte limitée de la compacité des fonctions de forme nodales : fonctions restant définies sur l'ensemble du domaine
  - Pas de mise à profit de l'additivité de l'intégration : intégrales calculées sur l'ensemble de domaine

04/10/2018 -54-